

مطالعات جغرافیایی مناطق خشک

سال چهارم، شماره شانزدهم، تابستان ۱۳۹۳

دریافت مقاله: ۹۳/۲/۲۳ تأیید نهایی: ۹۳/۸/۶

صفحه ۳۹ - ۵۳

پیش‌بینی سطح ایستابی مناطق خشک و نیمه خشک با استفاده از شبکه عصبی مصنوعی و روش Gradient Descent

جواد سدیدی^{*}، استادیار گروه سنجش از دور و GIS، دانشکده علوم جغرافیایی، دانشگاه خوارزمی، تهران، ایران

محمد کمانگر، کارشناس ارشد سنجش از دور و سامانه اطلاعات جغرافیایی

هانی رضائیان استادیار گروه سنجش از دور و GIS، دانشکده علوم جغرافیایی، دانشگاه خوارزمی، تهران

علیرضا حمیدیان، استادیار گروه جغرافیا دانشگاه حکیم سبزواری

محمد باعیقیده، استادیار گروه جغرافیا دانشگاه حکیم سبزواری

حیدر آربانزاد، کارشناس ارشد هوش مصنوعی

چکیده

قسمت اعظم مساحت کشور از لحاظ جغرافیایی در کمرنگ خشک و نیمه خشک با بارندگی کم قرار گرفته است. در نواحی فلات مرکزی و جنوبی اجتماعات شهری و روستایی با اتكاء به منابع آب زیر زمینی شکل گرفته و این منابع عمده‌ترین تامین کننده نیازهای آبی در این مناطق محسوب می‌شود. رشد روز افزون جمعیت و محدودیت منابع آبی لزوم پیش‌بینی دقیق مقدار این منابع را به دلیل اهمیت در برنامه ریزی و مدیریت بهینه می‌طلبد. پیش‌بینی سطح ایستابی با استفاده از ابزارها و روش‌های نوین مدلسازی می‌تواند کمک شایانی به برنامه ریزی و تصمیم‌گیری بهینه جهت تامین دراز مدت آب نماید. هدف از این تحقیق تخمین سطح ایستابی آبخوان سرخون استان هرمزگان با استفاده از شبکه عصبی و بهره مندی از روش Gradient Descent می‌باشد. این روش با استفاده از ارتباط ذاتی داده‌ها، روابط غیر خطی بین آن‌ها را یاد گرفته و نتایج را برای بقیه حالتهای تعمیم می‌دهد به منظور آموزش مدل از اطلاعات ۰۱ چاه مشاهده ای که دارای آمار ۲۴ ساله بودند استفاده گردید. در صد داده‌ها به عنوان داده‌های آموزشی به مدل معرفی و ۲۰ درصد داده‌ها به عنوان تست برای اعتبار سنجی به کار برده شد. نتایج این روش، تراز سطح ایستابی آبخوان سرخون برای سال ۱۴۰۰ را بین ۷۲ تا ۷۲۲ متر در مناطق مختلف پیش‌بینی می‌کند. ارزیابی این مدل با خطای RMSE بین ۰۰۰۱۲۵ تا ۰۰۰۹۰۰ و همچنین خطای MEA بین ۰۰۰۱۲ تا ۰۰۰۴۹ کارایی مدل شبکه عصبی Gradient Descent را در پیش‌بینی سطح ایستابی منابع زیر زمینی نشان می‌دهد.

واژگان کلیدی

سطح ایستابی، شبکه عصبی، Gradient Descent، خطای RMSE، دشت سرخون

مقدمه

مشخصه‌های اقلیمی، ساختار زمین‌شناسی، ریخت‌شناسی و دیگر عوامل طبیعی در ایران باعث شده که نهشته‌های آبرفتی در پهنه‌های وسیعی از دشت‌ها جایگاه مناسبی برای ذخیره و نگهداری آب به وجود آورد. در سال‌های اخیر افزایش تقاضای آب و کاهش سرانه منابع تجدید شونده، نگرانی‌های زیادی ایجاد کرده و چگونگی استفاده از این منابع به شکل مطلوب و موثر برای تضمین توسعه پایدار یکی از مهم‌ترین موضوعات مطرح است. آب‌های زیرزمینی یکی از مهم‌ترین منابع در جهت تامین نیازهای خانگی، صنعتی و کشاورزی و در بعضی مناطق تنها گزینه ممکن در جهت تامین این نیازها می‌باشد (Knotters, 1997). آب‌های زیرزمینی به عنوان تنها منبع مورد اعتماد مصرف آب در زمینه‌های شرب، کشاورزی و صنعت در مناطق خشک و نیمه خشک محسوب می‌شوند و استحصال آب از این منابع نسبت به اقلیم‌های دیگر حائز اهمیت است (خاشعی و همکارن، ۱۳۹۲). با توجه به اینکه ریزش‌های جوی در این مناطق عمده‌تاً به گونه‌ای است که در زمانهای محدود اتفاق می‌افتد جریان‌های سطحی عموماً به صورت سیلانی و موقتی پس از هر بارش مشاهده می‌شوند. کنترل سطح ایستابی با استفاده از چاههای مشاهده‌ای منبع اصلی اطلاعات جهت بررسی تغییرات هیدرولوژیکی این مناطق محسوب می‌شود. با استفاده از داده‌های روزانه و ماهانه و سالانه این چاهها می‌توان نوسانات سطح آب را بررسی نمود (Reghunath et al, 2005). با توجه به خشکسالی‌های دهه اخیر و کمبود آب در پهنه‌های وسیعی از کشور، مدیریت آب‌های زیرزمینی از اهمیت و حساسیت بالایی برخوردار است. پیدایش فن آوری چاههای عمیق و نیمه عمیق در عین فراهم ساختن امکانات بهتر برای استحصال آب از سفره‌های زیرزمینی موجب تغییراتی شدید و مشکلات بسیاری در نظام بهره برداری از آن‌ها شده است. برداشت آب از میزان تعذیب سالیانه آن‌ها بیشتر شده و باعث افت منابع و نهایتاً خشک شدن سفره‌های آب زیرزمینی خواهد شد. برای اعمال مدیریت صحیح نیاز به شناسایی و پیش‌بینی نوسانات سطح آب‌های زیرزمینی جهت برنامه ریزی‌های کوتاه مدت، بلند مدت و استفاده بهینه از پتانسیل آب‌های زیرزمینی می‌باشد. هدف عمده‌ی مدل سازی‌ها، تعیین روابط بین متغیرها، تعیین متغیرهای اثرگذار و پیش‌بینی است (Kutner, 2004). تا کنون مدل‌های زیادی جهت پیش‌بینی سطح آب زیرزمینی به کاربرده شده است. از جمله این مدل‌ها می‌توان به مدل‌های سری زمانی تجربی و مدل‌های فیزیکی اشاره کرد (ایزدی و همکاران، ۱۳۸۶). از مدل‌های سری زمانی تجربی به طور گسترده‌ای برای مدل‌های سطح آب زیرزمینی استفاده شده هنگامی که رفتار دینامیکی یک سیستم هیدرولوژیکی با گذشت زمان تغییر می‌کند مدل‌های یاد شده برای پیش‌بینی پارامترهای منابع آب توانایی کافی را نداشته و مدل‌های مناسبی نیستند (Bierkens, 1998). از طرف دیگر مدل‌های فیزیکی نیز در عمل به داده‌های زیادی برای شبیه سازی نوسانات سطح آب زیرزمینی نیاز دارند و از آنجا که روابط بین متغیرهای موثر بر سطح آب زیرزمینی پیچیده و غیر خطی می‌باشند مدل‌های فوق در ارائه رابطه بین این متغیرها نیز نمی‌توانند به خوبی عمل کنند (Nayak et al, 2006). مطالعات مدل شبکه عصبی به عنوان یک تخمین‌گر در دهه‌های اخیر نشان می‌دهد که این مدل توانایی بالایی در کشف رابطه بین داده‌ها و شناخت الگوها دارد (Daliakopoulos, 2005). در این زمینه پناهی و همکاران (۱۳۹۲) در پژوهشی با استفاده از داده‌های بارش و دبی روزانه با مقایسه دو مدل شبکه عصبی مصنوعی و رگرسیون چند متغیره، دبی حداقل خروجی حوضه آبخیز مادرسو را تخمین زده‌اند نتایج نشان داده که مدل شبکه عصبی مصنوعی در مقایسه با روش رگرسیون چند متغیره بسیار بهتر عمل نموده است. خزایی و همکاران (۱۳۹۲) با هدف مقایسه بین

مدل های مختلف شبکه عصبی مصنوعی MLP و RBF و سری های زمانی آرما^۱، دبی ماهانه در حوزه آبخیز طالقان را برای یک دوره ۳۰ ساله برآورد کرده اند نتایج نشان داده که شبکه عصبی مصنوعی^۲ نسبت به مدل های سری زمانی آرما دقیق تری در پیش بینی دبی دارند. پورمحمدی و همکاران (۱۳۹۲) کارایی روش های شبکه عصبی و سری های زمانی را در پیش بینی سطح آب زیرزمینی مقایسه کردند و به این نتیجه رسیدند که هر دو روش از کارایی و دقیق تری تکنیک شبکه های عصبی مصنوعی و زمین آمار برآورد ایران میزان تغییرات بارندگی را با استفاده از تلفیق تکنیک شبکه های عصبی مصنوعی و زمین آمار برآورد کردند و به این نتیجه رسیدند که دقیق تری شبکه عصبی در این برآورد معادل ۷/۰، ۸/۰ و ۸/۰ به ترتیب برای تخمین مقادیر میانگین بارندگی ماهانه و فصلی و سالانه در سطح منطقه مورد مطالعه بود. کاپولا و همکاران (۲۰۰۵) از مدل شبیه سازی شبکه عصبی برای پیش بینی تراز سطح آب زیرزمینی استفاده نمودند. در نتایج این مدل شبیه سازی نشان داد که مدل شبکه عصبی با دقیق تری تراز سطح آب زیرزمینی می تواند نشان دادند که مدل شبکه عصبی قابلیت پیش بینی سطح آب زیرزمینی را تا چهار ماه می تواند ارایه دهد. چاندرا مولی و همکاران (۲۰۰۷) معیاری را برای تعیین میزان تکرار برای آموزش شبکه های عصبی پس انتشار ارایه دادند. این مطالعه نشان می دهد که آموزش زیاد و یا کم تراز مقدار می تواند منجر به عبور از مقدار مناسب یا نرسیدن به جواب مطلوب برای تعیین ارتباط بین داده های ورودی و خروجی شود. یانگ و همکاران (۲۰۰۹) در پژوهشی نشان دادند دقیق تری شبکه عصبی نسبت به مدل سری زمانی تلفیقی در پیش بینی سطح آب زیرزمینی هم در مدت، میانگین مربع خطاهای، میانگین قدر مطلق خطاهای برتری دارد. سریکنیت و همکاران (۲۰۰۹) در پژوهشی نشان دادند که استفاده از شبکه عصبی با مدل شبکه پس انتشار استاندارد و با آموزش الگوریتم LM با $RMSE=5.4$ و $R^2=93$ باعث نمود بیشتر اثرات پدیده خشکسالی گردیده بلکه مشکلات عظیم و محربی را بر منابع آبی استان بالاخص مخازن زیرزمینی وارد نموده بطوریکه بخش های وسیعی از استان از جهت کمی و کیفی در معرض خطر جدی قرار گرفته اند. در این پژوهش دشت سرخون، مورد مطالعه قرار گرفته است زیرا از جمله دشت های نزدیک به مرکز استان هرمزگان است که از گذشته تاکنون تامین کننده نیاز شرب مناطق اطراف بوده است. برخی از این مناطق هم اکنون با مشکل آب آشامیدن مواجه بوده و کماکان آب شرب مورد نیاز خود را به طریق سنتی از آب انبارها تامین می نمایند. از طرفی دشت سرخون آب مورد نیاز بندرعباس را تامین می کند که پیش بینی روند تغییرات و تراز سطح آب زیرزمینی آبخوان این دشت جهت اتخاذ تصمیمات بهینه حائز اهمیت است. هدف از این مقاله ارائه مدلی نو با استفاده از شبکه عصبی مصنوعی و روش Gradient Descent جهت پیش بینی تراز سطح ایستابی آبخوان سرخون به صورت مکانی و بررسی سطح خطای این مدل می باشد.

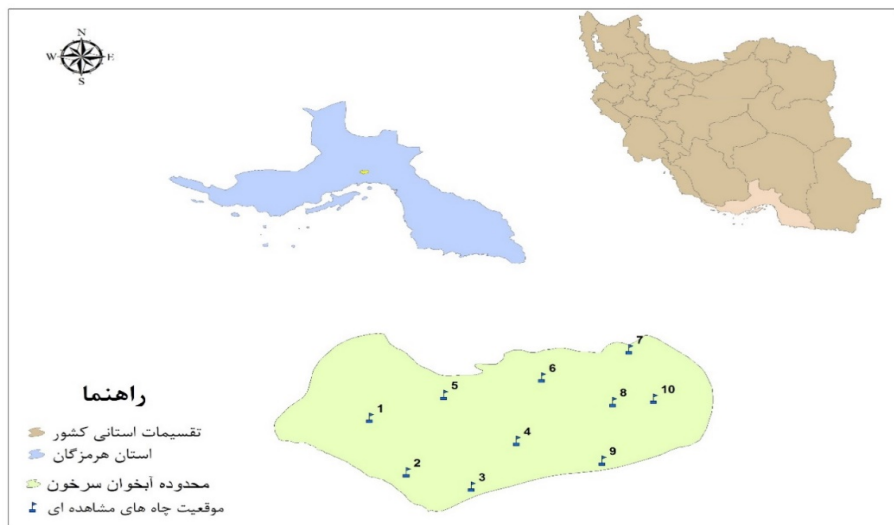
1- ARMA^۱

2 - neural networks Artificial

مواد و روش‌ها

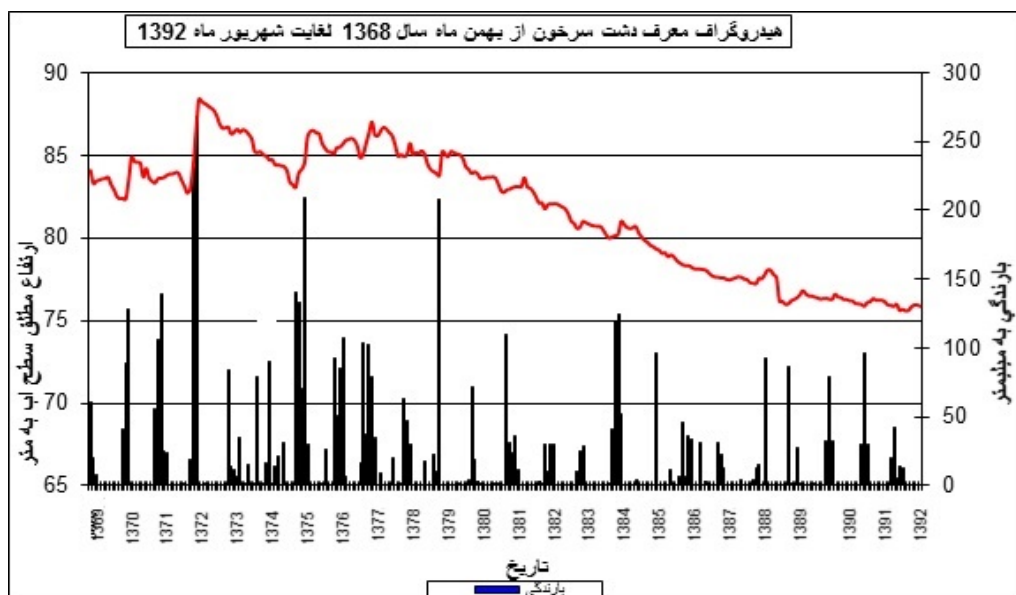
معرفی منطقه و داده‌ها

آبخوان سرخون به فاصله تقریبی ۲۵ کیلومتری از بندر عباس با مساحتی حدود ۱۰۴۶ کیلومترمربع و در حدود عرض‌های شمالی ۲۷ و ۳۵ درجه تا ۳۵ دقیقه و طول‌های شرقی ۵۶، ۷ دقیقه تا ۳۳، ۳۳ و ۳۳ دقیقه در حوضه آبریز سرخون واقع شده است (شکل ۱). بلندترین نواحی دشت سرخون دامنه کوه گنو در غرب دشت و پست‌ترین نواحی آن حاشیه رودخانه شور در شرق دشت می‌باشد. این رودخانه از نظر ساختار مرغولوژیکی تعیین حوضه آبخیز، ارتباطی با زیر حوضه سرخون ندارد ولی به دلیل وجود مناطق بهره برداری از آبهای زیرزمینی در حاشیه شرقی دشت سرخون و ایجاد شیب هیدرولیکی، رودخانه شور عملاً آن دشت را تغذیه می‌نماید. عبور رودخانه شور از تشکیلات تبخیری و سازندهای شور در بخش‌هایی از مسیر خود باعث شوری آب این رودخانه شده و این امر موجب می‌گردد تا با برقراری ارتباط هیدرولیکی آبخوان و رودخانه ناشی از گرادیان هیدرولیکی حاصل از برداشت آب زیرزمینی توسط چاهها، افزایش املاح و شوری آب سفره زیرزمینی دشت سرخون خصوصاً در بخش شرقی قابل توجه باشد. آبراهه‌های فرعی دیگر حوضه در نقاط مختلف به طور پراکنده به دو مسیل اصلی فوق می‌پیوندند. روزتای سرخون و اراضی زراعی و باغات مربوط به آن و نیز عمدۀ چاههای بهره برداری در بخش شرقی دشت و در پائین دست مسیل‌های دم و و قاده‌هار قرار داشته و این موضوع باعث افت سطح آب زیرزمینی به علت تمرکز چاهها شده است. میزان بارندگی بلند مدت سالانه این حوزه ۲۲۵ میلیمتر، میزان دمای متوسط $22/8$ درجه سانتیگراد و تبخیر از سطح دشت ۳۵۰۸ میلیمتر می‌باشد. آبخوان دشت سرخون به شکل یک آبخوان شرقی غربی است که رسوبات دانه درشت کوه گنو، آبرفت‌های بخش غربی را بوجود آورده و در بخش شرقی دشت که بین تشکیلات فارس در شمال و جنوب و رودخانه شور در شرق واقع گردیده است، این رسوبات ریزدانه تر شده است. متوسط ضخامت آبخوان در این دشت حدود ۳۵ متر و بیشترین ضخامت در مرکز دشت و در محل مسیل‌های اصلی ورودی به دشت معادل ۱۵۰ متر بوده که مبین وجود رسوبات دانه درشت رودخانه‌ای می‌باشد. در محدوده اطراف بندر عباس، دشت سرخون یکی از قطب‌های مهم کشاورزی و تامین آب محسوب می‌شود و بخش عمدۀ اراضی آن صرف باغداری و کشت صیفی جات می‌شود. این دشت از گذشته‌های دور به واسطه محدودیت کمی و کیفی مخزن و نیز تامین آب شرب شهر بندرعباس و شهرک‌های مجاور، ممنوعه اعلام گردیده و این ممنوعیت تاکنون ادامه دارد. در این دشت آب استحصالی از چاههای عمیق، نیمه عمیق و کم عمق به مصرف کشاورزی می‌رسد. بر اساس منابع موجود، در دشت سرخون چشمه و قنات گزارش نشده است. به منظور بررسی تغییرات سطح آب در دشت سرخون تعداد ۱۰ حلقه چاه پیزومتر حفر گردیده که آمار ماهانه آنها گزارش می‌شود.



شکل ۱- محدوده مورد مطالعه در ایران و هرمزگان و موقعیت چاه های پیزومتر در آبخوان

به منظور نشان دادن تغییرات عمق سطح آب زیرزمینی در سال های مختلف از هیدروگراف معرف آبخوان استفاده شده است. هیدروگراف معرف یک آبخوان، عکس العمل آبخوان را در طول یک دوره مشخص نسبت به عوامل تغذیه و تخلیه کننده نشان می دهد. از روی هیدروگراف مذکور می توان تغییر ارتفاع میانگین سطح آب را برای یک دوره مشخص تعیین نمود. با توجه به نمودار (۱) میزان تغییرات سطح آب زیرزمینی دشت سرخون در طی دوره ۲۵ ساله آبی ۶۸-۹۲ لغايت ۹۱-۹۲ به طور متوسط حدود ۰/۵ متر داشته است.



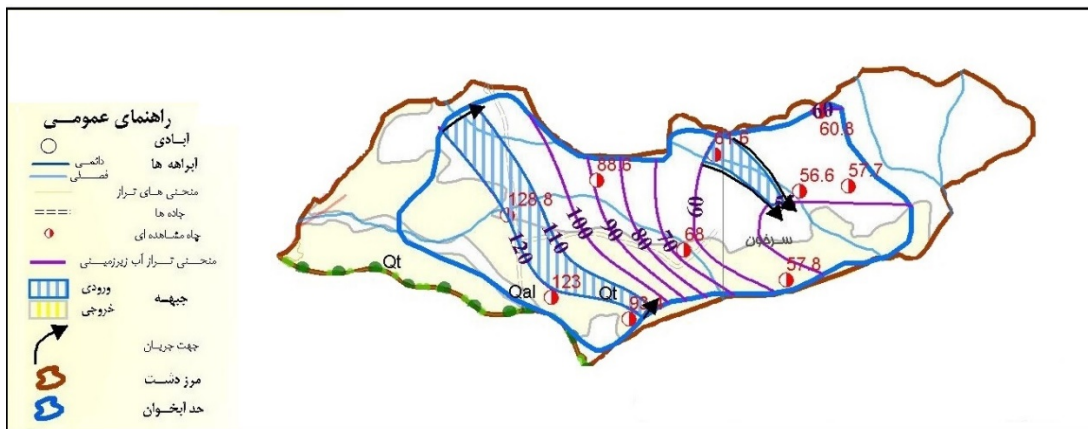
شکل ۲- هیدروگراف واحد آبخوان آبرفتی دشت سرخون

در این تحقیق از اطلاعات ده چاه مشاهده ای در طی دوره ۲۵ ساله آبی ۶۸-۹۲ لغايت ۹۱-۹۲ استفاده گردید که مشخصات آن در جدول یک آمده است.

جدول ۱- مشخصات چاههای مشاهده‌ای در محدوده مورد مطالعه

شمار ه چاه	نوع آبخوان	نوع سازند	سال حفر	عمق (متر)	تراز	X	Y
۱	آزاد	آبرفت	۱۳۶۸	۸۱	۱۸۰/۱۱	۴۳۳۰۳۱	۳۰۳۱۲۵۸
۲	آزاد	آبرفت	۱۳۶۸	۶۳	۱۶۵/۵۵	۴۳۴۷۵۵	۳۰۲۸۱۰۷
۳	آزاد	آبرفت	۱۳۶۸	۳۷/۲۷	۱۴۴/۸۳	۴۳۷۱۴۸	۳۰۲۷۴۴۵
۴	آزاد	آبرفت	۱۳۶۸	۴۴/۵	۹۴/۴۷	۴۳۸۸۲۴	۳۰۲۹۵۵۵
۵	آزاد	آبرفت	۱۳۶۸	۶۱	۱۳۲/۰۳	۴۳۶۱۳۹	۳۰۳۱۶۷۶
۶	آزاد	آبرفت	۱۳۶۸	۵۰	۹۱/۸۵	۴۴۲۹۷۱	۳۰۳۳۷۹۳
۷	آزاد	آبرفت	۱۳۶۸	۴۱	۸۶/۶۹	۴۴۲۹۷۱	۳۰۳۳۷۹۳
۸	آزاد	آبرفت	۱۳۶۸	۳۰/۵	۷۴/۰۴	۴۴۲۳۶۹	۳۰۳۱۳۵۳
۹	آزاد	آبرفت	۱۳۶۸	۴۷	۸۶/۵۴	۴۴۱۹۷۵	۳۰۲۸۶۴۱
۱۰	آزاد	آبرفت	۱۳۶۸	۳۰/۵	۷۱/۴۱	۴۴۳۸۸۱	۳۰۳۱۵۰۱

تراز سطح آب زیرزمینی یکی از ابزارهای مناسب برای شناخت شرایط هیدرولیکی آبخوان است. یکی از این موارد شناخت جهت جریان و گرادیان هیدرولیکی آب زیرزمینی است. هدف از تهیه نقشه‌های تراز، تعیین جهت جریان و نحوه حرکت آبهای زیرزمینی، مناطق تغذیه، مناطق تخلیه، نحوه ارتباط سازندهای مختلف با لایه‌های آبدار، نحوه ارتباط رودخانه با سفره‌ها و دیگر مشخصات آب‌های زیرزمینی می‌باشد. اضافه بر آنها از این نقشه‌ها ضمن محاسبه مقدار گرادیان هیدرولیکی، در تعیین نسبی مقدار نفوذپذیری رسوبات آبرفتی و ضریب قابلیت انتقال نسبی آنها استفاده به عمل آمده و نهایتاً مقادیر ورودی از اطراف قابل محاسبه می‌باشد. مضافاً از شکل منحنی‌ها نیز انواع مختلف آبخوان‌ها را تعیین و بدین ترتیب تعبیر و تفسیر کاملی از وضعیت آبخوان بدست می‌آید. در شکل سه نقشه تراز آب زیرزمینی و جهت جریان آورده شده است. بررسی و مقایسه وضعیت توپوگرافی مسیر جریان آبهای سطحی دشت سرخون نشان می‌دهد بدلیل برداشت در سال‌های اخیر (بویژه جهت آب شرب بندرعیاس) و تداوم پدیده خشکسالی، روال و نظم طبیعی و عادی خود را از دست داده است. بر اساس نقشه‌های تراز آب زیرزمینی دشت سرخون، تغذیه اصلی دشت از ناحیه غرب، یعنی از مسیلهای "دم" و "قاده‌هار" که از ارتفاعات گنو سرچشمه می‌گیرند، صورت گرفته و ارتفاعات شمال و جنوب آن تاثیر ناچیزی در تغذیه آبخوان دارند.



شکل ۳- نقشه منحنی تراز آب زیرزمینی دشت سرخون

جهت بررسی تغییرات مکانی و زمانی کیفیت آب زیرزمینی دشت سرخون سازمان حفاظت محیط زیست استان هرمزگان اقدام به گردآوری آمار نتایج آنالیز شیمیایی نمونه‌های آب زیرزمینی شبکه کیفی این دشت در سال آبی ۱۳۹۰-۹۱ و ذخیره سازی آنها در قالب بانک اطلاعاتی اقدام کرده است. در دشت سرخون کمترین مقدار کاتیونهای کلسیم، منیزیم و سدیم به ترتیب معادل $1/12$ ، $0/0$ و $2/46$ میلی اکی والان در لیتر و بیشترین مقدار آنها برابر $19/26$ ، $21/56$ و $55/9$ میلی اکی والان در لیتر اندازه گیری شده است. بیشترین دامنه تغییرات متعلق به آنیون کلرور و کمترین آن متعلق به آنیون بیکربنات می‌باشد. کمترین مقدار هدایت الکتریکی در منابع انتخابی این دشت برابر 720 و بیشترین آن معادل 8614 میکروزیمنس بر سانتیمتر و مقدار املاح محلول بین حداقل 460 و حداکثر 5513 میلی گرم در لیتر در نوسان می‌باشد و دامنه تغییرات pH $7/4$ تا $8/2$ بددست آمده است.

مدل شبکه عصبی مصنوعی با روش Gradient Descent و اجرای و مدل

شبکه‌های عصبی مصنوعی، یکی از روش‌های محاسباتی است که به کمک فرآیند یادگیری^۱ و با استفاده از پردازشگرهایی بنام نرون تلاش می‌کند با تنظیم وزن‌ها، مدلی را با استفاده از نمونه‌های ورودی خروجی که در دسترس هستند به دست آورد. این مدل بعداً برای تخمین مقدار خروجی برای داده دیده نشده‌ی جدید به کار می‌رود. فرایند آموزش شبکه یادگیری به وسیله‌ی K نمونه ورودی خروجی انجام می‌گیرد که بردار ورودی‌ها می‌رود. به صورت $\mathbf{x}^i = (x_1, x_2, \dots, x_n)$ هستند و بردار خروجی‌های متناظر با هر بردار ورودی به صورت $y^i = (Y_1, Y_2, \dots, Y_m)$ می‌باشند. متغیرهای $i=I, \dots, K$ و $n=1, \dots, N$ ورودی شبکه عصبی، x_1, x_2, \dots, x_n و y_i خروجی‌های شبکه عصبی هستند. w و W به ترتیب بردار وزن‌ها و بایاس‌های نرون‌های لایه‌ی m پنهان و خروجی شبکه می‌باشند. هر نرون تمامی خروجی‌های نرون‌های لایه قبل را دریافت می‌کند ولی هر کدام از آن‌ها را با یک وزن خاصی دریافت می‌کند. پس از ایجاد شبکه و تعیین تعداد لایه‌های پنهان و تعداد نرون‌ها، شبکه به وسیله‌ی نمونه‌های ورودی خروجی در دسترس آموزش داده می‌شود با یک قانون یادگیری^۲ به رسانی بردار وزن‌ها انجام می‌گیرد(Timothy, 2004).

^۱Learning

^۲Learning rule

و Widrow-Hoff، Perceptron، Winner Takes All، Hebbian، Correlation، Instar، Gradient Descent استفاده کرد (Bogdan M. Wilamowski, 2003). قانون یادگیری استفاده شده در این تحقیق Gradient Descent است که به گونه ای عمل می کند که مقدار این خطای کل کاهش یابد. در این مطالعه از دو ورودی، یک لایه‌ی پنهان با پنج نرون استفاده شده است و لایه‌ی خروجی دارای یک نرون است یعنی $m=1$ می باشد. در این قاعده برای به روز رسانی بردارهای وزن در لایه‌های خروجی و پنهان به صورت زیر است:

$$W = W - \eta \frac{\partial (W, w)}{\partial W} \\ - \eta \frac{\partial (W, w)}{\partial w_l} = w_l \quad w_l$$

با انجام مشتق گیری‌های این دو معادله، معادلات بهنگام می شوند انجام این کار از الگوریتم زیر استفاده می شود.

- گام اول : $0 > E_{\max}$ انتخاب می شوند.
- گام دوم : وزن های w با مقادیر کوچک مقدار دهی می شوند، $1 := k$ و E با صفر مقدار دهی می شوند.

- گام سوم : آموزش شروع می شود. ورودی x^k موجود است، $x := x^k, y := y^k$ و خروجی O محاسبه می شود.

$$O = \frac{1}{1 + \exp(-W^T \cdot x)}$$

- ۰ بردار خروجی لایه‌ی پنهان است که هر عنصر به صورت زیر محاسبه می شود
- $$o_l = \frac{1}{1 + \exp(-w_l^T \cdot x)}$$

- گام چهارم : وزن های واحد خروجی به روز می شوند

$$W := W + \eta \delta O \quad \text{که } \delta = (y - O)O(1 - O)$$

- گام پنجم : وزن های واحد های لایه‌ی پنهان به روز می شود

$$w_l = w_l + \eta \delta o_l o_l (1 - o_l) x, \quad l = 1, \dots, L$$

- گام ششم : مقدار خطای تکرار فعلی محاسبه و به خطای موجود E اضافه می شود

$$E := E + \frac{1}{2} (Y - O)^2$$

- گام هفتم : اگر $K < k+1$ و آموزش ادامه می یابد و به گام سوم می رود در غیر این صورت به گام هشت می رود.

- گام هشتم : اگر $E < E_{\max}$ آموزش کامل است. در غیر این صورت $0 := E$ و $1 := k$ و چرخه‌ی آموزش جدیدی با رفتن به گام سوم آغاز می شود.

در الگوریتم مذکور E_k نرخ یادگیری می‌باشد که در این مطالعه مقدار ۰.۰۰۱ انتخاب شده است و میزان بازدهی آموزش به وسیله‌ی میانگین مربعات خطای کنترل می‌شود و هر گاه این معیار به مقدار E_{\max} بررسد آموزش قطع می‌شود. L تعداد نمونه‌های لایه‌ی پنهان می‌باشد که خروجی نمونه $/$ در این لایه O_L و بردار وزن آن w_L است. مقدار بردار وزن‌ها در آغاز کار به صورت تصادفی مقدار دهی می‌شوند. در حالت کلی، دو مرحله‌ی اصلی در آموزش شبکه ایجاد خروجی O^k به ازای ورودی x^k و به روز رسانی وزن‌های شبکه است. برای ایجاد خروجی در هر نمونه از یکتابع فعال سازی^۱ استفاده می‌شود که معادله این تابع به صورت زیر است و در همه‌ی نمونه‌های شبکه از این تابع استفاده شده است.

$$f(x) = \frac{1}{1 + e^{-x}}$$

X ، همان مقدار net است که

$$\text{net} = \langle W^T, x \rangle$$

مقدار net برای هر نمونه برابر حاصلضرب دو بردار وزن و ورودی‌های هر نمونه می‌باشد که بردار x برای لایه خروجی، خروجی لایه پنهان است. به هنگام آموزش مقدار خطایی که برای هر نمونه آموزش بدست می‌آید در نهایت معادله‌ی زیر حاصل می‌شود:

$$E_k = \frac{1}{2} (y^k - O^k)^2 = \frac{1}{2} (y^k - O(\langle W, x^k \rangle))^2 = \frac{1}{2} \left(y^k - \frac{1}{1 + e^{(-W^T x^k)}} \right)^2$$

در این رابطه y^k ، مقدار خروجی مربوط به ورودی x^k است که قبلاً اندازه گیری شده است، O^k ، حاصل شبکه در یک تکرار الگوریتم است و W ، وزن ورودی‌های تنها نمونه لایه‌ی خروجی است. یعنی مقدار تخمین زده شده برابر است با :

$$O^k = \frac{1}{1 + e^{(-W^T x^k)}}$$

در هر تکرار الگوریتم و برای هر نمونه آزمایش یک مقدار خطای وجود دارد که در کل برای همه نمونه‌های آزمایش یک خطای کلی به صورت زیر است:

$$E = \sum_{K=1}^K E_K = E_1 + E_2 + \dots + E_K$$

معادله‌ی خطای کل تابعی از وزن‌هاست و برای آنکه این خطای کل کمینه شود، باید از این معادله بر حسب وزن مشتق گرفته شود تا مقادیر وزن‌هایی که این معادله را کمینه می‌کنند به دست آیند. حاصل این مشتق گیری‌ها در به روز رسانی نمونه‌های در هر لایه متفاوت است که در گام‌های ۴ و ۵ قابل مشاهده‌اند. پس از آنکه آموزش انجام شد مدل‌های بدست آمده برای چاهه‌ها باید ارزیابی شوند، که با استفاده از خروجی‌های داده‌های تست که در دسترس هستند و نتایجی که مدل‌ها برای همان داده‌ها ایجاد

۱ Activation function

می‌کنند این ارزیابی انجام شد. برای ارزیابی صحت مدل‌های بدست آمده برای چاه‌ها به دلیل کافی بودن داده‌های در دسترس از روش Holdout استفاده شد که در طی آن ۷۰ درصد داده‌های در دسترس جهت ایجاد مدل‌ها به کار گرفته شدند و ۳۰ درصد باقی مانده جهت تست به کار گرفته شدند. انتخاب داده‌ها جهت آموزش و تست به صورت تصادفی انجام گرفت. برای ارزیابی نتایج از دو معیار میانگین مربعات خطأ و خطای مطلق استفاده می‌شود. آماره RMSE یا مقدار میانگین مربعات خطأ بیانگر میزان خطای برآورد متغیرها نسبت به مقدار مشاهداتی است که بر اساس ریشه خطأ مورد محاسبه قرار می‌گیرد از دیدگاه کیفی معیار RMSE میزان تطابق مشاهدات و مقادیر برآورده شده را منعکس می‌کند(Aqil et al, 2007) که رابطه آن به شرح زیر است.

$$RMSE = \sqrt{\frac{1}{n} \sum_{i=1}^n [IW_{gs} - IW_{ob}]^2}$$

که در آن IW_{gs} مقدار سطح ایستابی محاسبه شده برای ماه IW_{ob} مقدار سطح ایستابی اندازه گیری شده و n تعداد داده می‌باشد. آماره MAE یا میانگین خطای مطلق از رابطه زیر قابل محاسبه است:

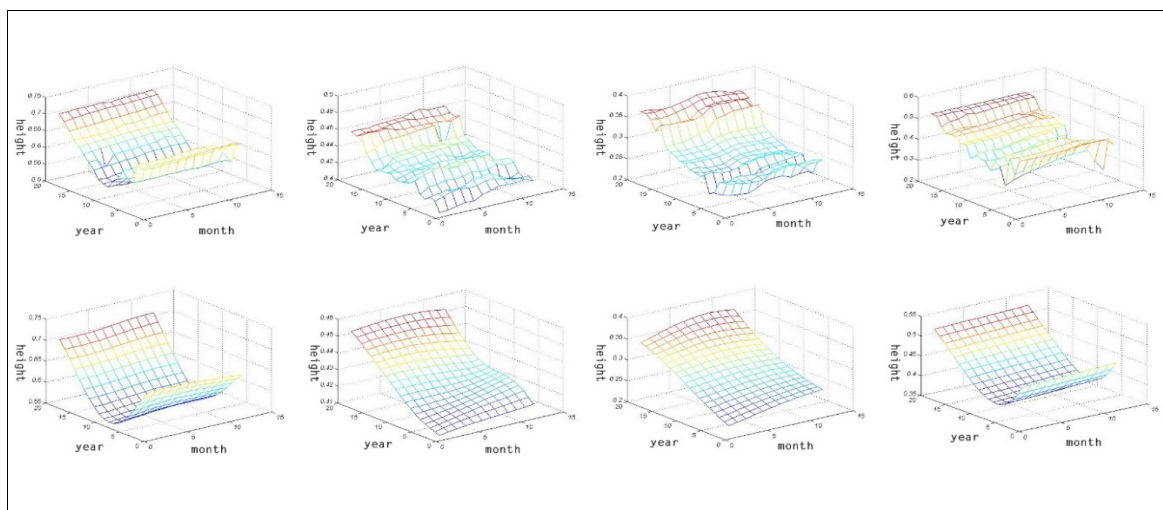
$$MAE = \left[\frac{1}{n} \sum_{i=1}^n |e_i| \right]$$

$$e_i = X_e - X_o$$

که در آن $|e_i|$ مقدار مطلق اختلاف مقادیر برآورد شده و مشاهده ای را نشان می‌دهد. هرچه مقدار این دو آماره کوچک‌تر باشد به معنای این است که خطای برآورد مقدار میانگین سطح ایستابی چاه‌ها از مدل به دست آمده کم تر می‌باشد.(ملکی نژاد و پور محمدی ۱۴۰۰).

نتایج

ابتدا ۷۰ درصد داده‌ها (تا سال ۱۳۸۸) به عنوان داده‌های آموزشی به مدل معرفی گردید منظور از آموزش یک شبکه انتخابی بر مبنای اطلاعات موجود، تنظیم مقادیر وزن‌ها یا مقادیر ثابت اولیه به گونه ای است که خطای بین مقادیر خروجی محاسبه شده و مشاهده شده حداقل گردد. ۲۰ درصد داده‌ها تا سال ۱۳۹۲ به عنوان تست برای اعتبار سنجی به کار بردند. با بررسی پارامترهای آماری RMSE و MAE مدل برآش داده شده تخمین صحیحی با خطای کمی را ارائه داد شکل زیر مربوط به داده‌های ۵ چاه اول می‌باشد. ردیف بالا داده‌های واقعی و ردیف پایین داده‌هایی است که از تخمین شبکه عصبی Gradient Descent برای سال ۱۳۹۲ بدست آمده است.



شکل ۴- نتایج حاصل از تخمین شبکه عصبی با روش Gradient Descent

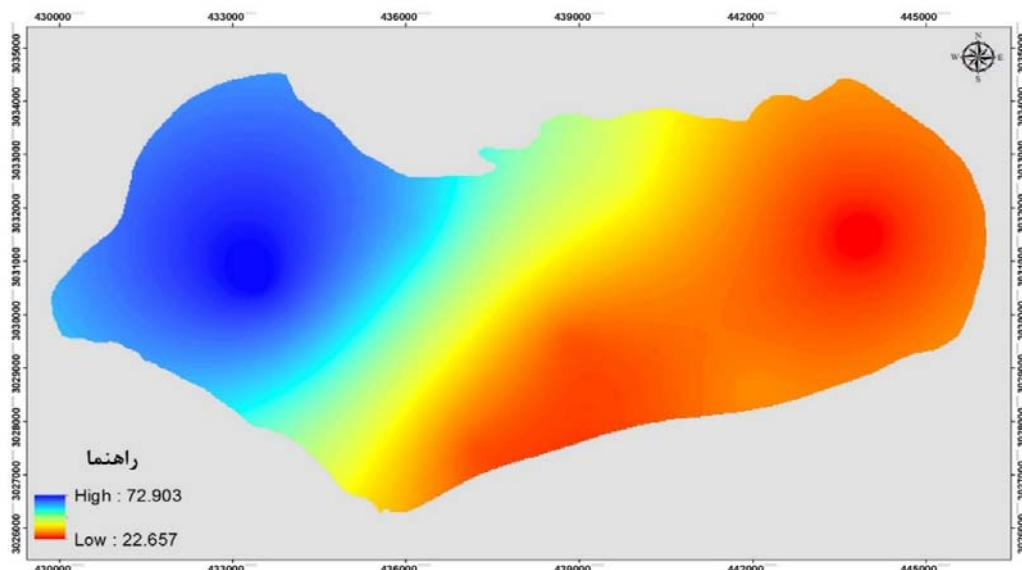
پس از محاسبه تراز سطح آب ده چاه پیزومتر برای سال ۱۴۰۰ میانگین ماهیانه از آنها گرفته شد و فیلدهای ژئومتری یا طول و عرض جغرافیایی به هر چاه اضافه شد، سپس در نرم‌افزار Arc GIS 10 عمل میانیابی به روش کریجینگ انجام شد. برای انتخاب روش درونیابی مناسب نیاز به انتخاب بهترینتابع نیم تغییرنما برای برآذش بر داده‌ها می‌باشد. برای تعیین مدل ریاضی پراکنش سطوح مختلف عمق آب زیرزمینی از زمین آمار بهره برداری گردید. قابل ذکر است در این پژوهش پنج نوع نیم تغییرنمای Simple، Disjunctive Probability و Universal استفاده شد. مشخصات روش‌های زمین آماری و میزان خطای آنها در جدول سه ذکر شده است. با توجه پراکندگی‌های چاههای پیزومتر و بررسی نیم تغییرنمای مدل‌های مختلف در نهایت Ordinary Kriging بهترین مدل برآذش تشخیص داده شد.

جدول ۲- برآذش مدل‌ها مختلف کرجینگ و میزان خطای آن

روش درون‌یابی	جذر میانگین مربعات خطأ (RMS)	میانگین خطای مطلق (MAE)
Ordinary Kriging	۸/۸۵۹	۰/۲۷
Simple Kriging	۱۴/۱۷۳	۰/۷۶
Universal Kriging	۱۱/۴۲	۰/۵۸
Probability Kriging	۹/۲۱۴	۰/۸۵
Disjunctive kriging	۱۱/۸۶	۰/۳۹

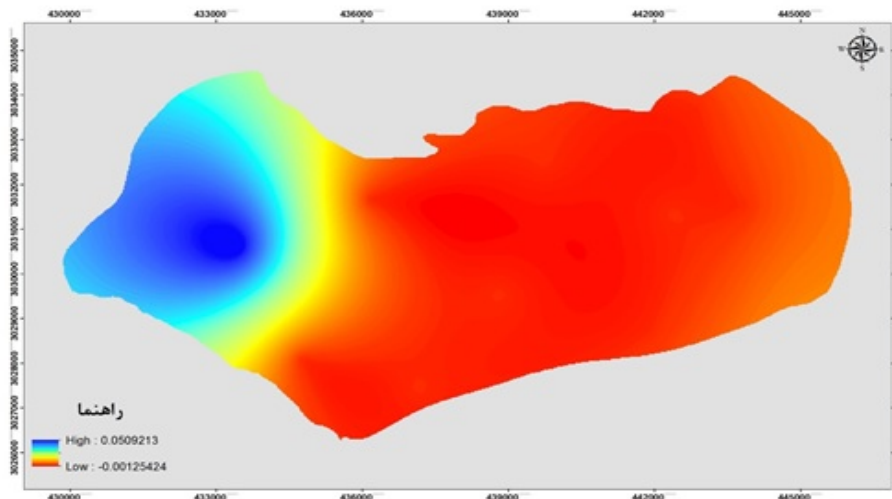
یکی از مهم‌ترین مراحل فرآیند توسعه مدل‌های شبکه عصبی تعیین اهمیت متغیرهای ورودی و تعیین گام‌های زمانی پیشین مؤثر بر متغیر وابسته می‌باشد. معمولاً همه متغیرهای ورودی دارای اهمیت یکسان نبوده و مقادیر برعی از آنها ممکن است توأم با عدم قطعیت بوده و یا اینکه هیچ رابطه معنی داری با متغیر خروجی نداشته باشند. در این مدل تراز سطح آب در ماههای گذشته به عنوان ورودی و تراز سطح آب در زمان t به عنوان خروجی شبکه استفاده گردید پس از اجرای مدل نتایج هر چاه به آن نسبت داده شده و با

استفاده از Ordinary Kriging درونیابی گردید، تراز متوسط سالیانه آبخوان پس از درون یابی در شکل پنج آورده شده است.

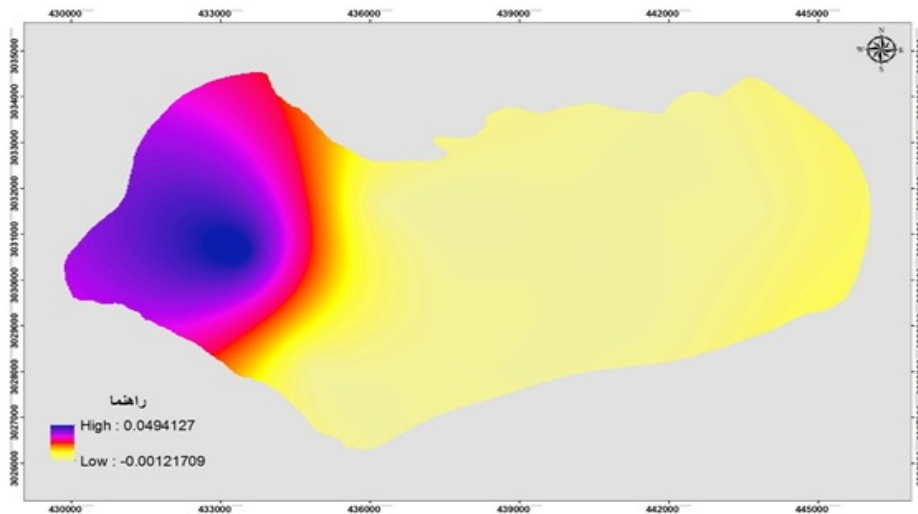


شکل ۵- پیش‌بینی تراز سطح آب در سال ۱۴۰۰

برای هر یک از پیزومترها، مراحل آموزش، صحت سنجی اجرا گردید و نتایج بدست آمده از هر مدل بر اساس دو معیار ارزیابی RMSE و MAE بدست آمد که پس از انتساب میزان خطای هر چاه درون یابی گردید میزان پراکندگی این دو خطای برآورد شد که در شکل‌های هفت و هشت آورده شده است.



شکل ۶- خطای RMSE حاصل از مدل در پیش‌بینی تراز ایستابی سال ۱۴۰۰



شکل ۷-پراکندگی خطای MAE در پیش‌بینی تراز ایستابی سال ۱۴۰۰

بحث و نتیجه گیری

پس از پیش‌بینی پراکنش مکانی تراز سطح ایستابی آبخوان سرخون برای سال ۱۴۰۰ هجری شمسی بین ۷۲۲ تا ۷۲۶ متر تخمین زده است. کمترین مقادیر سطح ایستابی مربوط به قسمت شرقی دشت به علت برداشت از طریق چاههای عمیق و نیمه عمیق و بیشترین مقدار مربوط به قسمت غربی آبخوان می‌باشد که می‌تواند راه را برای مدیریت بهینه منابع آبی هموار نماید. ارزیابی این مدل با خطای RMSE بین ۱۲۵-۱۴۰ متر و همچنین خطای MEA بین ۱۲-۴۹ تا ۰۰-۰۰۵ متر Gradient Descent را در پیش‌بینی سطح ایستابی آب زیرزمینی نشان می‌دهد. کارایی شبکه عصبی در نتایج پژوهش دیگران نیز مشهود بوده به طوری که جاتیراکش و ساکر (۲۰۰۸) و سریکنت و همکاران (۲۰۰۹) در پژوهش‌هایی جداگانه دریافتند که شبکه عصبی کارایی مناسبی برای پیش‌بینی سطح ایستابی چاهها دارد. از نتایج دیگر این پژوهش می‌توان به همبستگی بهتر و خطای کمتر شبکه عصبی در پیش‌بینی سطح ایستابی اشاره نمود. و می‌توان اظهار داشت استفاده از چنین الگوریتمی در پیش‌بینی تغییرات سطح ایستابی می‌تواند دقت تصمیم گیری‌های مدیریتی را تا حد بالای بهبود بخشد. در انتهای پیشنهاد می‌شود از انواع مدل‌های سری زمانی از جمله آریما، آرما و ساریما و دیگر مدل‌های شبکه عصبی استفاده گردد و نتایج را با تحقیق حاضر مقایسه نموده و مدلی که کمترین خطای تراز سطح ایستابی داشته را داراست برای مدیریت بهینه آب در آینده معرفی نمود. همچنین پیشنهاد می‌گردد در تعیین ساختار پارامترهای ورودی شبکه عصبی تاثیر دوره‌های تروخشک در نظر گرفته شود و تاثیر پارامترهای دیگر نظیر بارندگی، تبخیر و ... در پیش‌بینی تراز سطح آب زیرزمینی در نظر گرفته شود که نویسندها در تحقیقات آتی خود آنها را نیز لحاظ می‌نمایند.

منابع

- ایزدی، عباس، کامران داوری و امین علیزاده و بیژن قهرمان و ابولقاسم حقایقی مقدم، (۱۳۸۶)، پیش بینی سطح ایستابی با استفاده از شبکه عصبی مصنوعی، مجله آبیاری و زهکشی ایران، شماره ۲، صفحه ۷۱-۵۹
- پناهی، علی، بهلول علیجانی، (۱۳۹۲)، پیش بینی دبی اوج سیلابی با استفاده از مدل شبکه عصبی فصلنامه جغرافیا، شماره ۳۸، پاییز ۱۳۹۲ ص ۱۱۳-۱۲۸
- حسنی پاک علی اصغر(۱۳۷۷)، زمینآمار، انتشارات دانشگاه تهران. چاپ اول. ۳۱۱ ص.
- خاشعی سیوکی، عباس، بیژن قهرمان و مهدی کوچک زاده، (۱۳۹۲)، مقایسه مدل‌های شبکه عصبی مصنوعی ANFS و رگرسیونی در برآورد سطح ایستابی آبخوان دشت نیشابور، نشریه آبیاری و زهکشی ایران، شماره ۱، جلد ۷، ۱۰-۲۲
- خزایی، مجید، محمدرضا میرزایی، (۱۳۹۲)، مقایسه کارایی پیش بینی دبی ماهانه با استفاده از روش‌های شبکه عصبی مصنوعی و سری‌های زمانی، مجله مهندسی و مدیریت آبخیز، سال پنجم، شماره ۲، ۱۳۹۲ صص ۷۴-۸۴
- متنکان، علی اکبر، بهناز عربی، حسن لشکری، بابک میرباقری، (۱۳۹۲)، برآورد میزان تغییرات بارندگی با استفاده از تلفیق تکنیک شبکه‌های عصبی مصنوعی و زمین آمار در شمال غرب ایران، فصلنامه سنجش از دور و GIS ایران، شماره ۱۶، زمستان ۱۳۹۱، ص ۳۷.
- 7- *Bierkens, M. F. P., (1998), Modeling water table fluctuations by means of a stochastic differential equation, Water Resour. Res., 34(10)2485–2499.*
- 8- *Bogdan M. Wilamowski, (2003), Neural Network Architectures and Learning, IEEE. 0. 7803-7852*
- 9- *Chandramouli, V., Lingireddy, S., and Brion, G.M (2007), Robust training termination criterion for back propagation ANNs applicable to small data sets. J. Com, Civil Engine. 21: 1. 39-46.*
- 10- *Coppola, E., Rana, A.J., Poulton, M., Szidarovszky, F., and Uhi, V.W (2005), Aneural networks model for predicting aquifer water level elevation. Ground Water, 43: 231-241*
- 11- *Daliakopoulos, I. N., Coulibaly, P. and Tsanis, I. K., (2004), Groundwater level forecasting using artificial neural networks, Journal of Hydrology. 309(4)229-240.*
- 12- *Daliakopoulos, N. I., Coulibaly, P., Tsanis, I. K. (2005), Ground water level forecasting using artificial neural networks". J. of Hydro., 309, 229-240*
- 13- *Goovaerts P. (2000), Geostatistical approaches for incorporating elevation into the spatial interpolation of rainfall. Journal of hydrology, 228: 113-129.*
- 14- *Jothiprakash, V., and Sakhare, S., (2008) , Ground Water Level Fluctuations using Artificial Neural Network, The 12th International Conference of International Association for Computer Methods and Advances in Geomechanics (IACMAG), Goa, India*
- 15- *Knotters, M. and Van Walsum, P. E. V., (1997), Estimating fluctuation quantities from time series of water-table depths using models with a stochastic component. J. Hydro. 197, pp. 25-46.*
- 16- *Mydat Aqil, I. Kita, A. Yano, and S. Nishiyama, (2007), Analysis and prediction of flow from local source in a river basin suing a Neuro-fuzzy modeling tool, Environ. Manage. vol. 85, pp. 215-223.*

- 17- Nayak, P., Satyaji Rao, Y. R., and Sudheer, K. P., (2006). "**Groundwater level forecasting in a shallow aquifer using artificial neural network approach**", *Water Resources Management*, 2(1)77-99.
- 18- Reghunath, R., Murthy, T. R., and Raghavan, B. R. 2005. **Time series analysis to monitor and assess water resources: A moving average approach**. *Environmental Monitoring and Assessment*, 109, 65–72.
- 19- Sreekanth, D., Geethanjali, N., Sreedevi, P., Ahmed, Sh., Ravi Kumar, N., and Kamala Jayanthi, P.D(2009), **Forecasting groundwater level using artificial neural networks**, *Current Science*, 96: 1-7.
- 20- Timothy J. Ross, (2004), **FUZZY LOGIC WITH ENGINEERING APPLICATIONS**, John Wiley & Sons Ltd, Second Edition, P648
- 21- Yang, Z.P., Lu, W.X., Long, Y.Q., and Li, P (2009), **Application and comparison of two prediction models for groundwater levels: A case study in Western Jilin Province. China**. *J. Arid Environ.* 73: 487-492.